

ПИСЬМА В РЕДАКЦИЮ. ДИСКУССИОННЫЕ ВОПРОСЫ

УДК 535.33:621.373.8

Физическая основа генерации лазерного магнитомультипольного излучения

В.П. Лопасов*

Институт оптики атмосферы им. В.Е. Зуева СО РАН
634055, г. Томск, пл. Академика Зуева, 1

Поступила в редакцию 4.12.2015 г.

Установлена физическая основа генерации магнитомультипольного (ММ) излучения в области 250–900 нм. Предложен механизм двумерной обратной связи между энергиами эффектов Штарка на низкочастотном электродипольном и Зеемана на высокочастотном магнитном мультипольном колебательно-вращательных переходах, объединенных низшим состоянием в V-схему. Механизм задает скорость самоорганизации молекул в ансамбль «электрон–ион» на ММ-переходе, приготовленном в области слабого магнитного мультипольного перехода. Ансамбль в форме многоцилиндрического «соленоида–резонатора» генерирует ММ-излучение в момент накопления пороговой диамагнитной энергии между состояниями приготовленного перехода.

Ключевые слова: молекулярный газ, бигармоническое излучение накачки, самоорганизация, ансамбль «электрон–ион», приготовленный магнитомультипольный переход, оптический «соленоид–резонатор»; molecular gas, biharmonic pump radiation, self-organization, “electron–ion” ensemble, prepared magneto-multipole transition, optical “solenoid-resonator”.

Введение

Известно [1], что физика лазерного излучения на электродипольном (ЭД) переходе базируется на квантово-электродинамическом подходе к раздельному описанию характеристик рабочей среды, резонатора и системы накачки. В последние годы физика лазера пополнилась новыми разделами: волновые лазеры, мощные лазеры на тонких дисках, квантово-каскадные лазеры и др. Как правило, на ЭД-переходе рабочей среды генерируется излучение со степенью когерентности первого порядка [2]. В резонаторе запускается обратная связь (ОС) между фотонами вынужденного излучения и молекулами (атомами) рабочей среды. Генерация самовозбуждается в момент времени, когда между состояниями ЭД-перехода среды на частоте одной из мод резонатора достигнута пороговая инверсия населенности. Каждая характеристика ЭД-излучения формируется независимо.

Недостаток ЭД-излучения состоит в том, что его распространение в атмосфере зависит от ее аэрозольно-молекулярно-ионного состава, включая облака, дымки, туманы, дождь, снег (они уменьшают сигнал-шум лазерного канала), а турбулентность атмосферы искажает волновой фронт из-за низко- и высокочастотных флуктуаций интенсивности сигнала. Как следствие, помехоустойчивость в атмосфере лазерных систем связи, навигации и других средств на основе ЭД-излучения оказывается недостаточной для трасс, превышающих 1–5 км [3–5].

Решение научных атмосферно-оптических, аэрокосмических и других задач требует качественно нового уровня устойчивости волнового фронта лазерного излучения на больших трассах, в том числе с большой магнитной индукцией в различных объектах. Актуальным стало освоение новой глубины знаний взаимодействия электромагнитного излучения с веществом и генерации магнитомультипольного излучения (ММ) на приготовленном ММ-переходе [6]. Физика ММ-лазера базируется на квантово-электромагнитодинамическом подходе к единому описанию процессов в системе «коллектив полей + молекулярный газ». Коллектив полей состоит из векторной суммы электрических $\mathbf{D}_{\parallel\perp} + \mathbf{E}_{\perp}^B + \mathbf{D}_{\perp}^R = \mathbf{E}_{\perp\parallel}^{\Sigma}$ и магнитных $\mathbf{B}_{\parallel\perp} + \mathbf{H}_{\perp}^B + \mathbf{B}_{\perp}^R = \mathbf{H}_{\parallel\perp}^{\Sigma}$ компонент поля упругого столкновения молекул с буферными молекулами (атомами), поля БИ-накачки π-поляризации и поля ралеевского рассеяния [6]. Все характеристики ММ-излучения формируются взаимозависимо за время меньше длительности одного столкновения молекул.

Цель работы – установить физическую основу генерации ММ-излучения при заданной скорости накопления пороговой диамагнитной энергии в системе «коллектив полей + молекулярный газ».

1. Механизм самоорганизации молекул в ансамбль «электрон–ион»

Для генерации ММ-излучения необходимы условия, при которых в системе «коллектив полей + молекулярный газ» запускается самоорганизация

* Владимир Павлович Лопасов (lopas@iao.ru).

молекул в оптически активный ансамбль «электрон–ион» с последующим преобразованием БИ-накачки π -поляризации в ММ-излучение σ -поляризации.

Самоорганизация молекул в ансамбль «электрон–ион» и преобразование БИ-накачки в ММ-излучение реализуются при наличии [6–8]:

1) V -схемы, состоящей из низкочастотного ЭД- и высокочастотного магнитного мультипольного колебательно-вращательного (КВ) переходов $k' \rightarrow k \rightleftharpoons n$ молекулы (рис. 1).

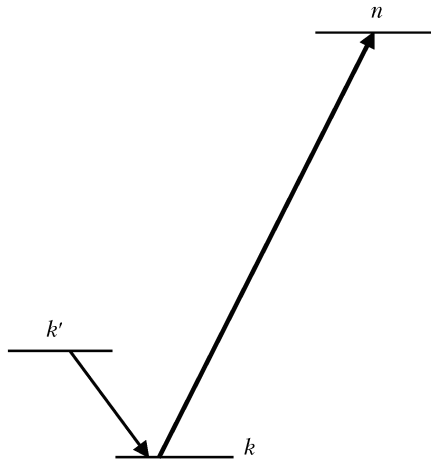
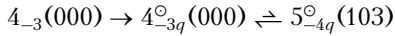


Рис. 1. V -схема колебательно-вращательных переходов

В области излучения лазера на рубине (694,38 нм) есть V -схема в молекуле H_2O , которая состоит из двух КВ-переходов



с общим низшим уровнем $4_{-3q}^\circ(000)$. Уровень $4_{-3q}^\circ(000)$ молекулы H_2O является результатом смещения уровня $4_{-3}(000)$ с $J = 4$ на $2\Delta_{JK} \approx 345,6$ МГц из-за центробежного растяжения и на $2\Delta_{JKq}^\circ$ из-за динамического смещения при упругом столкновении H_2O с N_2 . Уровень $5_{-4q}^\circ(103) \rightarrow 5_{-4q}^\circ(103)$ также испытывает динамическое смещение. Здесь $(000) \Leftrightarrow (103)$ — составной колебательный переход молекулы H_2O и $J = 4, 5$ — квантовые числа углового момента H_2O ;

2) двумерного (во времени и пространстве) резонанса (ДР) по энергии между разностью $2\omega_{-q} = (\omega_{1q} - \omega_{2q})$, суммой $2\omega_{+q} = (\omega_{1q} + \omega_{2q})$ частот поля БИ-накачки и частотами двух КВ-переходов V -схемы; $q = 0, 1, 2, \dots, q^* = \omega_{+q=0}/\omega_{-q=0} = 10^3 - 10^6$ — целочисленный номер шага $T_{+q}/4$ поля БИ-накачки (рис. 2);

3) сил Лоренца и Кориолиса на каждом шаге $T_{+q}/4$ поля БИ-накачки по оси Z ;

4) внутренней знакопеременной амплитудной $\pm A_\perp$ и фазовой $\mp \Phi_\parallel$ модуляции поля БИ на переходах V -схемы с шагом $T_{+q}/4$ при асимметрии интенсивностей компонент поля

$$I_{1q=0}/I_{2q=0} \neq 1; \quad (1)$$

5) объема когерентности БИ-накачки

$$\Delta V_{q=0} \rightarrow \Delta V_{q^*} \approx \Delta z_{||q^*} \pi R_{nf \perp q^*}^2, \quad (2)$$

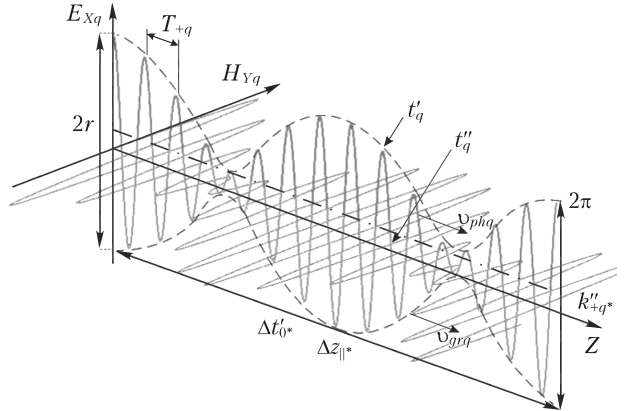


Рис. 2. Бигармоническое излучение накачки π -поляризации

где в открытых зонах Френеля формируется комплексный показатель преломления молекулярного газа на этапе

$$\Delta t'_{0q^*} = 2 \sum_{q=0}^{q^*} q T_{+q} / 4 \approx 10^{-12} \text{ с} \leq \tau_{ECM} \approx 10^{-11} \text{ с} \quad (3)$$

меньше длительности упругого столкновения (τ_{ECM}) молекулы (m_D) и буферной молекулы (m_b);

6) концентрации буферных молекул, фотонов БИ-накачки и молекул в (2)

$$m_b \gg N_{ph} \gg m_D; \quad (4)$$

7) программы, обеспечивающей управление параметрами БИ-накачки, молекулярного газа и контроль характеристик ММ-излучения.

При этих условиях ДР по энергии между частотами $2\omega_{-q}$, $2\omega_{+q}$ поля БИ-накачки и V -схемой переходов запускает механизм двумерной ОС между энергиями квадратичных эффектов Штарка и Зеемана на первом шаге $T_{+q=0}/4$. Каждый следующий шаг $T_{+q}/4$ сопровождается понижением симметрии молекул с накоплением диамагнитной энергии $\bar{W}_{Z \perp q}$ на магнитном мультипольном переходе. Степень понижения симметрии соответствует разнице между поляризуемостью $\alpha_{\perp q=0}$ и диамагнитной восприимчивостью $\chi_{d \parallel q=0}$ молекул (6 порядков величины [9]), характеризующей глубину знания внутри- и межмолекулярных квантовых событий на этапе (3).

Одномоментно молекулы в объеме (2):

а) анизотропно накапливают «квантовую поляризационную» диамагнитную восприимчивость $-\chi_{d \parallel q}$ [10];

б) самоорганизуются в ансамбль «электрон–ион», связанный полем зарождающейся ММ стоячей волны σ -поляризации (СВЭП) в форме многоцилиндрического «соленоида-резонатора» за счет фемтоупорядочения ансамбля через тензоры электрической $\epsilon(\omega_q, \lambda_q)$ и магнитной $\mu(\omega_q, \lambda_q)$ проницаемости молекулярного газа;

в) формируют фазу зарождающейся волны ММ-излучения на частоте ω_{Xq} в каждом профиле СВЭП для четных и нечетных зон Френеля (мод «соленоида-резонатора»). Изменение фазы волны

ММ-излучения приводит к тому, что зоны (моды) «работают в фазе» — квантовый аналог гиперлинзовой системы [11].

2. Физическая основа способа генерации ММ-излучения

2.1. Специфика системы «коллектив полей + молекулярный газ»

Рассмотрим молекулы воды, буферные молекулы азота и результаты [12–14], приведшие к физической основе генерации ММ-излучения.

В экспериментах [12–14] концентрация молекул воды составляла $\sim 10^{16} \text{ м}^{-3}$, а молекул азота на 7 порядков больше. Расстояние между молекулами воды $\sim 10^{-6} \text{ м}$, которое свет проходит за $1,5 \cdot 10^{-14} \text{ с}$. Этого времени достаточно для запуска механизма двумерной ОС в системе «коллектив полей + молекулярный газ», где поле БИ имеет степень когерентности первого порядка в пространственно-временных точках $(r_1 t_1)$, $(r_2 t_2)$ и описывается корреляционной функцией первого порядка $g^{(1)}(r_1 t_1, r_2 t_2) = 1$ [2]. Так как расстояние между молекулами воды велико, то для изучения процессов в системе «коллектив полей + молекулярный газ» достаточно рассмотреть одно столкновение молекулы воды с молекулой азота и учесть среднюю энергию молекул воды \bar{W} в объеме (2). Более того, поскольку за этап (3) каждая молекула воды смещается только на 10^{-10} м , то ее можно рассматривать практически неподвижной.

В этом приближении механизм двумерной ОС, силы Лоренца и Кориолиса на каждом шаге $T_{+q}/4$ этапа (3):

1) разделяют заряды связанного (валентного) электрона $-e$ и иона i молекул m_D по состояниям КВ-перехода $k \rightleftharpoons n$ (см. рис. 1);

2) приготавливают ММ-переход с однородно уширенным контуром за счет пространственно-временной дисперсии коллектива полей в аномальной области слабого высокочастотного магнитного мультипольного КВ-перехода $k \rightleftharpoons n$;

3) формируют показатель преломления $n(r_{q^*}, t_{q^*}) = n'_{\pm \perp \parallel q^*} - i2\pi\chi''_{d \mp \parallel \perp q^*}(m_D + m_b)$ оптически-активного ансамбля «электрон–ион» с взаимозависимыми Re- и Im-частями;

4) связывают ансамбль «электрон–ион» в объеме (2) полем СВЭП.

Самоорганизация ансамбля означает, что у молекул воды появляется дополнительная устойчивая потенциальная яма в пределах основного электронного состояния с пороговой диамагнитной энергией $\bar{W}_{Z \parallel \perp q^*}$ на подготовленном ММ-переходе. Наличие ямы оценим (см. подразд. 2.3) в рамках S-теоремы [15], где параметры БИ-накачки и молекулярного газа

$$2\omega_{-q}; 2\omega_{+q}; I_{1q}/I_{2q} \neq 1; k' \rightarrow k \rightleftharpoons n; \\ m_b \gg N_{ph} \gg m_D; T \quad (5)$$

играют роль параметров Ляпунова [15] при управлении процессом самоорганизации молекул в ан-

самбль «электрон–ион»; T — комнатная температура молекулярного газа. Параметры (характеристики), нуждающиеся в управлении, — это индуцированные столкновением электрический

$$\mathbf{d}_{e \perp \parallel q} = \alpha_{\perp \parallel q} \mathbf{D}_{\perp q} + 1/3 A_{\perp \parallel \gamma q} \nabla \mathbf{D}_{\parallel \gamma q} + G_{\perp \parallel q} \mathbf{B}_{\parallel q} \quad (6)$$

и магнитный

$$\mathbf{d}_{m \parallel \perp q} = -\chi_{d \parallel \perp q} \mathbf{B}_{\parallel q} - \tilde{G}_{\parallel \perp q} \mathbf{D}_{\perp q} \quad (7)$$

моменты, состоящие из $\alpha_{\perp \parallel q}$, $-\chi_{d \parallel \perp q}$, квадрупольной поляризуемости и тензоров $G_{\perp \parallel q}$, $\tilde{G}_{\parallel \perp q}$, связанных с тензором гирации g_q молекулы воды.

2.2. Аналитика системы «коллектив полей + молекулярный газ»

Введем декартову систему координат, и пусть поле БИ π -поляризации, для определенности, распространяется вдоль оси Z при вкладе $\alpha_{xx} \mathbf{E}_x \mathbf{D}_x$, $-\chi_{dyy} \mathbf{H}_y \mathbf{B}_y$ в энергию молекул и, аналогично, полей упругого столкновения и рэлеевского рассеяния в плоскости XY . Запишем гамильтониан молекул в коллективе полей [16] в виде

$$H = H_0 + \bar{W}_q.$$

Здесь H_0 — оператор энергии молекул воды в объеме (2); $\Delta V_{q=0} \rightarrow \Delta V_{q^*} \approx 30 \text{ см}^3$ [12–14];

$$\begin{aligned} \bar{W}_q = -m_D \Delta V_q & \left[\left(\alpha_{xxq} (D_{xq} + E_{xq}^B + D_{xq}^R) + \right. \right. \\ & + \frac{1}{3} A_{x,\beta\chi q} (D_{\beta\chi q} + E_{\beta\chi q}^B) + G_{xyq} (B_{yq=0} + H_{yq=0}^B + B_{yq=0}^R) \times \\ & \times (D_{xq=0} + E_{xq=0}^B + D_{xq=0}^R) + \left(\chi_{yyq} (B_{yq} + H_{yq}^B + B_{yq}^R) + \right. \\ & \left. \left. + \tilde{G}_{yxq} (D_{xq} + E_{xq}^B + D_{xq}^R) \right) (B_{yq} + H_{yq}^B + B_{yq}^R) - \right. \\ & \left. - \frac{e^2}{8mc^2} \sum_{i,j} \langle \Psi | (H_i H_j) \sum_k (z_k^2 + y_k^2) | \Psi \rangle \right] \end{aligned}$$

— средняя энергия каждой m_D молекулы в основном электронном состоянии; Ψ — временно зависящая волновая функция молекулы воды;

$$-\frac{e^2}{8mc^2} \sum_{i,j} (H_i H_j) \sum_k (z_k^2 + y_k^2) — диамагнитная часть$$

оператора взаимодействия. Здесь $E_{\beta\chi} = \nabla_{\beta} E_{\chi}$ — градиент поля; $\chi, \beta = x, y, z$; индексы i, j соответствуют коллективу полей. При этом [16] электрическая $\alpha_{xxq} \equiv \alpha_{\perp \parallel q}$, магнитная $\chi_{yyq} \equiv \chi_{d \parallel \perp q}$ и квадрупольная $A_{x,\beta\chi q} \equiv A_{\perp \parallel \gamma q}$ поляризуемости молекулы, а также тензоры $G_{xyq} \equiv G_{\perp \parallel q}$, $\tilde{G}_{yxq} \equiv \tilde{G}_{\parallel \perp q}$ имеют резонансный множитель

$$\begin{aligned} Z' = (\omega_{+q}, \omega_{kn}, \Gamma_{kn}) = \\ = \frac{\omega_{kn}^2 - \omega_{+q}^2}{(\omega_{kn}^2 - \omega_{+q}^2)^2 + \omega_{+q}^2 \Gamma_{kn}^2} + i \frac{\omega_{+q} \Gamma_{kn}^2}{(\omega_{kn}^2 - \omega_{+q}^2)^2 + \omega_{+q}^2 \Gamma_{kn}^2}. \end{aligned}$$

Здесь ω_{kn} — частота магнитного мультипольного перехода $k \rightleftharpoons n$; Γ_{kn} — ширина спектральной линии.

В (6), (7) и средней энергии \bar{W}_q приведены компоненты тензоров $G_{\perp\parallel q}$, $\tilde{G}_{\parallel\perp q}$, связанных с тензором гирации g_q молекулы воды. В отсутствие внешних полей молекула воды имеет точечную симметрию C_{2v} и компоненты ее тензора гирации равны нулю. Результат упругого столкновения искажает распределение электронной плотности молекул и понижает их симметрию. Понижение симметрии приводит к появлению у молекул воды отличного от нуля компонента тензора гирации g_q , и молекулы приобретают гиротропное свойство. Кроме того, индукция в молекуле электрического и магнитного моментов (6), (7) приводит к анизотропности $\alpha_{\perp\parallel q}$ и $-\chi_{d\parallel\perp q}$. Как следствие, взаимодействие в молекуле индуцированных моментов с коллективом полей приводит к энергии квадратичных эффектов Штарка $\delta W_{St\parallel\perp q} = \mathbf{d}_{e\perp q}\mathbf{E}_{\perp\parallel q}^\Sigma$ и Зеемана $\delta\bar{W}_{Z\parallel\perp q} = -\mathbf{d}_{m\parallel\perp q}\mathbf{H}_{\parallel\perp q}^\Sigma$ на каждом шаге $T_{+q}/4$ этапа (3). Двумерный резонанс по энергии между $2\omega_{-q}$, $2\omega_{+q}$ поля БИ-накачки и двумя переходами V -схемы запускает двумерную ОС между энергиями эффектов Штарка и Зеемана.

Механизм двумерной ОС, силы Лоренца и Кориолиса, резонансно усиливая гиротропное свойство молекул, создают зависимость их диамагнитной энергии $\delta\bar{W}_{Z\parallel\perp q}$ от перекрестных членов $\sim \mathbf{E}_{\perp\parallel q}^\Sigma \mathbf{H}_{\parallel\perp q}^\Sigma$ компонент $\mathbf{E}_{\perp\parallel q}^\Sigma$ и $\mathbf{H}_{\parallel\perp q}^\Sigma$ коллектива полей. Перекрестные члены преобразуют энергию коллектива полей на частоте $2\omega_{-q}$ и энергию КВ-движения молекул в их диамагнитную энергию $\delta\bar{W}_{Z\parallel\perp q}$ на частоте $2\omega_{+q}$. Эффективность преобразования энергий зависит от скорости возмущения, заданной шагом $T_{+q}/4$, и от V -схемы КВ-переходов молекул воды в процессе их самоорганизации в ансамбль «электрон–ион» на этапе (3).

Шаг поля БИ-накачки примем равным $T_{+q}/4 \sim \hbar/I_0 \leq 10^{-15}$ с, где $I_0 = e^4 m/2\hbar^2$ – единица энергии ионизации атома водорода [17]. Коллектив полей формирует нелокальность и нелинейность связи в молекулах за счет перекрестных слагаемых: $\mathbf{E}_{\perp\parallel q}^\Sigma \mathbf{H}_{\parallel\perp q}^\Sigma$ – векторного произведения комплексной электрической и комплексной магнитной компонент коллектива полей, т.е. за счет вектора Умова–Пойнтинга [9]. Аналогично формируются нелокальность и нелинейность связи в молекулах между поляризацией $\mathbf{P}_{\perp\parallel q}$ и полем $\mathbf{E}_{\perp\parallel q}^\Sigma$ с последующим преобразованием поля БИ π -поляризации в поле СВЭП σ -поляризации.

2.3. Самоорганизация молекул в ансамбль и генерация ММ-излучения

Используем V -схему КВ-переходов $4_{-3}(000) \rightarrow 4_{-3q}^\odot(000) \rightleftharpoons 5_{-4q}^\odot(103)$ молекул воды в области излучения лазера на рубине в экспериментах [12–14] для оценок $-\chi_{d\parallel\perp q}$ и $\bar{W}_{Z\parallel\perp q}$ при асимметрии интен-

сивностей компонент БИ-накачки $I_{1q=0}/I_{2q=0} = 4$ (1). Звездочкой помечен нижний уровень, сдвиг положения которого задан полем упругого столкновения (поле БИ слабое) и принимается равным $3 \cdot 10^8$ Гц [14]. Суммарная частота $2\omega_{+q}$ меняется по закону

$$2\omega_{+q} \approx q(q+1)2\pi\omega_R + 2\pi\omega_{103},$$

где $\omega_R = 1,7$ МГц и $\omega_{103} = 4,2 \cdot 10^5$ ГГц – частоты вращательного и составного колебательного движения молекул воды. Разбив (3) на интервалы $\delta t_q = t_{q+1} - t_q = T_{+q}/4$, будем на каждом шаге $T_{+q}/4$ поля БИ вычислять в рамках S -теоремы накопление $-\chi_{d\parallel\perp q}$ и $\bar{W}_{Z\parallel\perp q}$ молекулами воды в системе «коллектив полей + молекулярный газ» (таблица) при заданных параметрах (5).

Из таблицы следует: $-\chi_{d\parallel\perp q}$ и $\bar{W}_{Z\parallel\perp q}$ молекул воды увеличиваются на 7 и 10 порядков при шаге $q^* = 1000$, что указывает на дополнительную потенциальную яму (на рост в молекуле оптической активности) на электронной поверхности молекул (рис. 3).

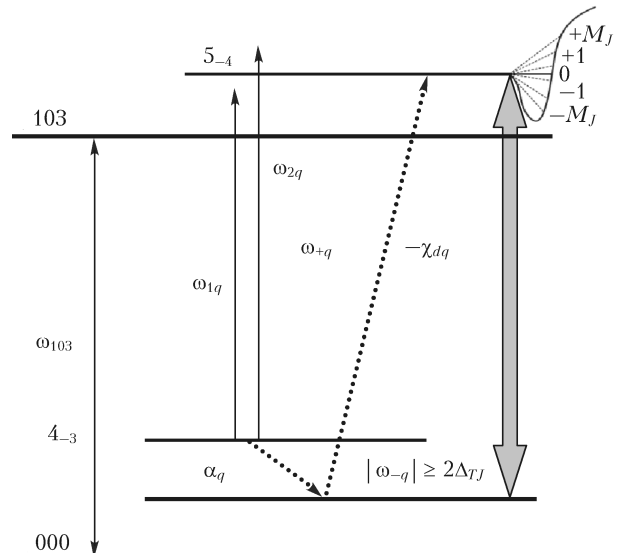


Рис. 3. Дополнительная потенциальная яма на электронной поверхности молекулы

Условия самоорганизации нарушаются (из-за ионизации молекул воды) после шага $q^* = 1000$, и процесс самоорганизации ансамбля заканчивается. То есть на шаге $q^* = 1000$ молекулы в объеме (2), накопив пороговую диамагнитную энергию $\bar{W}_{Z\parallel\perp q^*} \approx -6,9 \cdot 10^{-16}$ Дж, самоорганизуются в ансамбль «электрон–ион» на частоте $\omega_{+q^*} \approx \omega_{Xq^*}$ приготовленного однородно уширенного ММ-перехода. Вероятность излучательного процесса на частоте $\omega_{+q^*} \approx \omega_{Xq^*}$ велика, поскольку при условиях (1)–(4) релаксационные безызлучательные процессы практически исключены.

Расчет $-\chi_{d\parallel\perp q}$ и $\bar{W}_{Z\parallel\perp q}$ в каждой молекуле водяного пара

q	1	2	3	10	100	500	700	1000
t_c , с	$3,12 \cdot 10^{-16}$	$6,2 \cdot 10^{-16}$	$9,20 \cdot 10^{-16}$	$3,12 \cdot 10^{-15}$	$3,12 \cdot 10^{-14}$	$1,57 \cdot 10^{-13}$	$2,2 \cdot 10^{-13}$	$3,00 \cdot 10^{-13}$
$-\chi_{d\parallel\perp q}$	$8,10 \cdot 10^{-30}$	$8,2 \cdot 10^{-30}$	$8,32 \cdot 10^{-30}$	$9,11 \cdot 10^{-30}$	$3,00 \cdot 10^{-29}$	$5,60 \cdot 10^{-26}$	$7,4 \cdot 10^{-23}$	$0,36 \cdot 10^{-22}$
\bar{W} , Дж	$-11,30 \cdot 10^{-26}$	$-11,9 \cdot 10^{-26}$	$-11,90 \cdot 10^{-26}$	$-13,10 \cdot 10^{-26}$	$-10,90 \cdot 10^{-25}$	$-11,80 \cdot 10^{-21}$	$-1,0 \cdot 10^{-18}$	$-6,90 \cdot 10^{-16}$

Лопасов В.П.

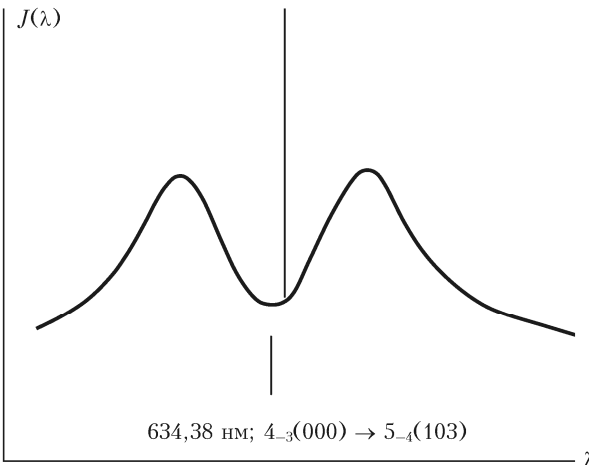


Рис. 4. Пик монохроматического излучения в провале генерации лазерного излучения от линии поглощения $4_{-3}(000) \rightarrow 5_{-4}(103)$ молекул воды

Оптически активный ансамбль «электрон–ион» упорядочен в пространственно-временном масштабе на ММ-переходе, имеет форму многоцилиндрического «соленоида–резонатора» и преобразует БИ π -поляризации в ММ-излучения σ -поляризации на частоте ω_{Xq^*} с красным сдвигом на $1/\Delta t'_{0q^*}$ от частоты линии поглощения молекулы воды как в [13, 14] (рис. 4).

3. Обсуждение физической основы генерации ММ-излучения

3.1. Критерии когерентности и дисперсии рассеянного излучения

Известно [18], критерий когерентности рассеянного излучения в классической теории дисперсии сводится к сравнению длины свободного пробега молекулы $\ell_{mil} \approx v\tau_{mil}$ и радиуса нелокальности отклика молекулы на возмущающее поле с длиной волны λ . Рассеянное излучение когерентно, если $\ell_{mil} \geq \lambda$. Здесь v и τ_{mil} – скорость и время свободного пробега молекул; $\ell_{mil} = 1/m_b \sigma_{scat}$ – длина пробега; $\sigma_{scat} \approx 8\pi k^4 |\alpha(\omega)|^2 / 3$ – упругое сечение рассеяния в атмосфере для $\lambda \approx 500$ нм; $\alpha(\omega)$ – поляризуемость молекул. В отсутствие диссипации ослабление световой волны определяется рассеянием, что приводит к мнимости $\epsilon(\omega)$, которая связана с константой радиационного затухания, вызванного торможением колебания молекулы ее собственным радиационным полем $\mathbf{E} = (2/3c^3)\mathbf{d}$, где \mathbf{d} – собственный и(или) индуцированный дипольный момент молекулы.

Критерий когерентности излучения на приготовленном ММ-переходе сводится к сравнению радиуса нелокальности отклика связанных электронов молекулы $r_{\parallel \perp q^*}$ на действие коллектива полей с длиной волны ММ-излучения $\lambda_{\parallel \perp q^*}$. ММ-излучение когерентно, если $r_{\parallel \perp q^*} \geq \lambda_{\parallel \perp q^*}$. Начальный критерий когерентности ММ-излучения равен $r_{\parallel \perp q=0}/\lambda_{\parallel \perp q=0} \ll 1$, вели-

чина которого имеет порядок отношения скорости связанных (валентных) электронов молекулы к скорости света $v_{Dq=0}/c \ll 1$ [17].

Условия (1)–(4) позволяют использовать эффект нелокальности отклика связанных электронов молекулы [17] для резонансного роста $r_{\parallel \perp q^*}$ за счет кванто-электромагнитодинамического возмущения молекул коллективом полей по V-схеме КВ-переходов, имеющих индуцированные дипольные моменты (6), (7). При этом связанный электрон молекул на каждом шаге $T_{+q}/4 \leq 10^{-15}$ с, прибывая в точку r_q из точки r'_q , приносит память о действии на него и электрической, и магнитной компонент коллектива полей в точке r' .

Как следствие, отношение $r_{\parallel \perp q}/\lambda_{\parallel \perp q} \rightarrow 1$ растет в аномальной области магнитного мультипольного КВ-перехода за счет быстрого уменьшения в молекулах скорости света c/n''_q [17] при резонанском взаимозависимом росте $-\chi_{d \parallel \perp q}$ в Ян-части показателя преломления $n'(r_q, t_q) = \sqrt{\epsilon(r_{\pm \perp q}, t'_q) \mu(r_{\mp \parallel q}, t''_q)}$ (см. таблицу). Из формулы Бине для ряда Фибоначчи определим скорость роста физических характеристик A_q молекул при их самоорганизации в ансамбль

$$A_q = A_0 \exp\left((q+1)\ln\left(\frac{1+\sqrt{5}}{2}\right) - \frac{\ln 5}{2}\right) \approx A_0 \exp\left(\frac{q}{2}\right),$$

где q – номер члена ряда Фибоначчи и номер шага $T_{+q}/4 = 2\pi/4\omega_{+q}$ коллектива полей. Из тождества

$$A_q = A_0 \exp(K_q t_q) \approx A_0 \exp(K_q q T_q/4) \equiv A_0 \exp(q/2) \quad (8)$$

получим скорость роста физических характеристик молекулы воды: $K_q = 2/T_{+q} = \omega_{+q}/\pi$. Для перехода $4_{-3}^\otimes(000) \rightleftharpoons 5_{-4}(103)$ молекул воды скорость роста составляет $K_q \sim 10^{14} - 10^{15}$ с $^{-1}$, что согласуется с прямым вычислением значений $-\chi_{d \parallel \perp q}$ и $\bar{W}_{Z \parallel \perp q}$ (см. таблицу).

Зададим динамику роста радиуса нелокальности отклика связанных электронов молекулы воды в виде

$$\begin{aligned} r_{\parallel \perp q=0} &\approx \frac{v_{D \parallel \perp q=0} \lambda_{\parallel \perp q=0}}{c} \Rightarrow \\ &\Rightarrow r_{\parallel \perp q} \approx r_{\parallel \perp q=0} \exp(q/2 + 0,2), \end{aligned}$$

учитывающем изменение физических характеристик A_q (8) и преобразование энергии коллектива полей и электронно-вращательного взаимодействия в пороговую диамагнитную энергию $\bar{W}_{Z \parallel \perp q}$ на приготовленном переходе $4_{-3}^\otimes(000) \rightleftharpoons 5_{-4}(103)$. При росте $-\chi_{d \parallel \perp q}$ на 7 порядков (см. таблицу) получим $v_{e \parallel \perp q^*} (4\pi m_D \chi_{d \parallel \perp q^*})/c \approx 1$ и отношение

$$r_{\parallel \perp q^*} \approx \lambda_{\parallel \perp q^*} v_{e \parallel \perp q^*} (4\pi m_D \chi_{d \parallel \perp q^*})/c \Rightarrow (r_{\parallel \perp q^*} \geq \lambda_{\parallel \perp q^*})$$

будет характеризовать критерий когерентности ММ-излучения в аномальной области приготовленного ММ-перехода.

3.2. Электромагнитодинамический аспект генерации ММ-излучения

Электромагнитодинамические процессы в системе «коллектив полей + молекулярный газ», нарушая симметрию m_D молекул в момент $t'_{q \approx 0}$ шага $T_{+q=0}/4$, приводят к анизотропному росту характеристик $\alpha_{\perp q}$, $-\chi_{d \parallel q}$, $\tilde{W}_{Z \parallel q}$, $G_{\perp q}$, $\tilde{G}_{\perp q}$ (и g_q) путем самоорганизации наноловушек $-e_{\perp q}$ и $i_{\parallel q}$.

Наноловушки, удерживая заряды $-e_{\perp q}$ и $i_{\parallel q}$ в пределах $\lambda_{+q}/2$ ортогонально и $\lambda_{\parallel q}$ вдоль зон Френеля, образуют оптически активный ансамбль «электрон–ион», связанный полем СВЭП в многоцилиндрический «соленоид-резонатор» к моменту t'_{q^*} . Ансамбль «электрон–ион» в «соленоиде-резонаторе» – это квантовый аналог гиперлинзовой системы [11] с шагом $\lambda_{+q^*}/2 \pm \delta\lambda_{+q^*}/8$ ортогонально и шагом $\lambda_{\parallel q^*} \pm \delta\lambda_{\parallel q^*}/8$ вдоль зон Френеля. То есть $m_D \sim 10^6 - 10^{10}$ молекул воды, находящихся в момент $t'_{q \approx 0}$ на стартовом состоянии V -схемы переходов в окружении молекул азота $m_b \gg m_D$, участвуют в формировании генерации ММ-излучения со степенью когерентности m_D -го порядка. Так как совокупность m_D молекул упорядочена в пространстве (2) к моменту t'_{q^*} окончания этапа (3) в ансамбль «электрон–ион» через коллектив полей, то ансамбль в форме многоцилиндрического «соленоида-резонатора» с диаметром $D_{\perp q^*}$ приобретает свойство диамагнитного фотонного кристалла.

Диамагнетизм оптического «соленоида-резонатора» обусловлен макроскопическим поверхностным током электронов в модах (зонах Френеля), что соответствует свойству сверхпроводника с абсолютной величиной диамагнитной восприимчивости $\chi = -1/4\pi$ [19]. Оптически активный ансамбль «электрон–ион» в форме «соленоида-резонатора» имеет полную пространственно-временную упорядоченность (2), (3) с коэффициентом $\beta_{\perp q^*} \approx 1/4\pi$. Как следствие, поле БИ π -поляризации с гауссовым поперечным распределением интенсивности на входе «соленоида-резонатора» создает на его выходе пучок ММ-излучения σ -поляризации с расходимостью $\theta_{\perp q^*} = \beta_{\perp q^*} \lambda_{\perp q^*} / D_{\perp q^*}$, что на порядок меньше дифракционной расходимости накачки. ММ-излучение имеет когерентность m_D -го порядка [2], винтовой фронт и большой орбитальный магнитный/механический момент $L = m_D M_j \hbar$ (M_j – магнитное квантовое число высоковозбужденного состояния слабого магнитного мультипольного КВ-перехода молекулы воды, см. рис. 3). ММ-излучение описывается корреляционной функцией m_D -го порядка $g^{(m_D)}(\mathbf{r}_1, t_1, \dots, \mathbf{r}_{m_D}, t_{m_D}; \mathbf{r}_{m_D}, t_{m_D}, \dots, \mathbf{r}_1, t_1) = 1$ [2].

Из оценок, полученных в работе [7], следует, что параметры ММ-излучения превышают параметры ЭД-излучения от одного до семи порядков величины в части:

- 1) уменьшения расходимости, ширины спектра и ослабления интенсивности на больших атмосферных трассах;
- 2) увеличения КПД накачки БИ и устойчивости волнового фронта на больших атмосферных трас-

сах при большой магнитной индукции в различных объектах.

Заключение

Физическая основа генерации ММ-излучения базируется на квантово-электромагнитодинамическом подходе к самоорганизации молекул в оптически активный ансамбль «электрон–ион» за время меньше одного упрогого столкновения молекул с буферными молекулами. Оптически активный ансамбль «электрон–ион» на подготовленном ММ-переходе имеет форму многоцилиндрического «соленоида-резонатора», модами которого являются зоны Френеля с макроскопическим поверхностным током электронов. Макроскопический поверхностный ток многоцилиндрического «соленоида-резонатора» формирует вдоль оси Z полную напряженность соленоидального магнитного поля в рамках закона Би–Савара.

Сравнение результатов расчета самоорганизации молекул в ансамбль «электрон–ион», выполненное в рамках S -теоремы и по критерию роста радиуса нелокальности отклика связанного электрона молекул в коллективе полей, позволяет сделать вывод, что квантово-электромагнитодинамический подход к генерации ММ-излучения вполне адекватен оценкам его характеристик. Результат оценки указывает на то, что ММ-излучение обладает качественно новым уровнем устойчивости волнового фронта, ослабления интенсивности на больших атмосферно-водных трассах и магнитной индукции в различных объектах.

Следующими этапами развития исследований являются: 1) квантово-механический расчет самоорганизации ансамбля «электрон–ион» на подготовленном ММ-переходе с генерацией на его частоте ММ-излучения, 2) прямая экспериментальная проверка предложенного способа генерации ММ-излучения и 3) применение ММ-излучения для решения научеких атмосферно-оптических, аэрокосмических и других задач.

Автор благодарен С.Н. Багаеву за обсуждение результата работы на Ученом совете ИЛФ СО РАН, В.Г. Багрову и А.А. Рухадзе за консультации, полезные дискуссии, В.Н. Черепанову и Р.Р. Валиеву за аналитику системы «коллектив полей + молекулярный газ».

Работа поддержана Фондом Сколково № КТИТ-11 от 18.09.2012 г.

1. Звелто О. Принципы лазеров. СПб.: Лань, 2008. 720 с.
2. Лоудон Р. Квантовая теория света М.: Мир, 1976. С. 163–178.
3. Djerroud K., Acef O., Clairon A., Lemonde P., Man C.N., Samain E., Wolf P. Coherent optical link through the turbulent atmosphere // Opt. Lett. 2010. V. 35, iss. 9. P. 1479–1481.
4. URL: www.optica.ru; www.laseritc.ru; www.mostkom.ru; www.fso.homelinux.org
5. Касаткин Н.Ф. Атмосферные оптические линии связи нового поколения // Технологии и средства связи. 2006. № 4. С. 87.

6. Лопасов В.П. Принципы генерации лазерного излучения на приготовленном магнитодипольном переходе // Прикл. физ. 2012. № 4. С. 24–33.
7. Лопасов В.П. Оценка характеристик лазерного излучения на приготовленном магнитомультипольном переходе // Прикл. физ. 2012. № 5. С. 5–10.
8. Лопасов В.П. Концептуальная модель магнитомультипольного лазера // Фотоника. 2014. № 3(45). С. 54–68.
9. Волькенштейн М.В. Молекулярная оптика. М.; Л.: ГИТГЛ, 1951. С. 16, 79, 141.
10. Вонсовский С.В. Магнетизм. М.: Наука, 1971. 71 с.
11. Ахманов С.А., Никитин С.Ю. Физическая оптика. М.: МГУ, 2004. 458 с.
12. Зуев В.Е., Лопасов В.П., Макогон М.М. Исследование тонкой структуры спектра поглощения атмосферных газов методом скоростной лазерной спектроскопии // Докл. АН СССР. 1971. Т. 199, № 5. С. 1041.
13. Лопасов В.П. Абсорбционная лазерная спектроскопия в коротковолновой области спектра // Оптика атмосф. и океана. 1997. Т. 10, № 9. С. 996–1015.
14. Способ синтеза оптически активной диамагнитной среды. Пат. 2320979. Россия, МПК⁵¹ G01N 21/00, H01S 3/094 / Лопасов В.П. № 2006110006/28; заявл. 28.03.2006; опубл. 27.03.2008. Бюл. № 9.
15. Климонтович Ю.Л. Проблемы статистической теории открытых систем: критерии относительной степени упорядоченности состояний в процессах самоорганизации // Успехи физ. наук. 1989. Т. 158, вып. 1. С. 59–91.
16. Бекингем Э. Основы теории межмолекулярных сил. Применение к малым молекулам // Межмолекулярные взаимодействия: от двухатомных молекул до биополимерных / Под ред. Б. Пюльмена. М.: Мир, 1981. С. 52.
17. Ильинский Ю.А., Келдыш Л.В. Взаимодействие электромагнитного излучения с веществом. М.: МГУ, 1989. 301 с.
18. Собельман И.И. К теории рассеяния света в газах // Успехи физ. наук. 2002. Т. 172, № 1. С. 85–90.
19. Физический энциклопедический словарь. М.: БРЭ, 1995. С. 14.

V.P. Lopasov. The physical basis for the generation of laser radiation magnetic multipole.

The physical basis for generation of magnitomultipol (MM) radiation in the region of 250–900 nm is suggested, as well as the mechanism of two-dimensional inverse relationship between the energies of Shtar effect at the low-frequency electric dipole and Zeeman effect on high-frequency magnetic multi-pole vibration-rotation transitions, combined with lower status in the V-scheme. The mechanism sets the rate of self-molecules in the “electron–ion” ensemble at MM, prepared in a weak magnetic multipole transition. Ensemble in the form of many cylindrical “solenoid-resonator” generates radiation in the MM-accumulation time on the threshold of the diamagnetic power between states of the prepared transition.